

MP15 : Production et mesure de champs magnétiques

Bibliographie :

- Dictionnaire de Phys., tome IV ; Lecointe et Donini (articles Étainant, ferromagnétisme, champs magnétiques tournants)
- Magnétisme : statique, induction et variante ; Gérin (Théorie d'un cycle d'hystéresis p. 362)
- Géosciences PCSI p. 249 (effet Hall)
- Electromagnétisme 2 ; Berthier, Bertrand et Renault (p. 393)

Introduction :

- aimants connus depuis longtemps (magnétite = roche de dragée, en Chine)
- expériences et théorie au début du XIX^e s ; 1825 : 1^{er} aimant
- Depuis, les champs \vec{B} sont omniprésents dans la vie quotidienne aussi bien qu'en recherche.

OG : $B_{\text{terrestre}} \sim 0,5 \cdot 10^{-4} \text{T}$ $B_{\text{terrestre en RMN}} \sim 10 \rightarrow 50 \text{T}$
 Bainant $\sim 0,1 \text{T}$ $B_{\text{pôle}} \rightarrow 100 \text{T}$

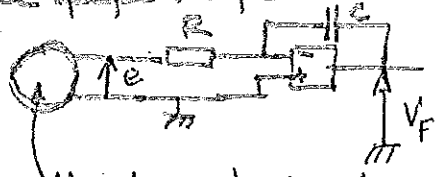
Il est donc important de maîtriser les champs \vec{B} : on va voir comment les mesurer, puis comment les produire.

I - Mesure de champs magnétiques

(on va utiliser des effets des champs \vec{B} pour déduire leur intensité).

1. Début métro

Le principe repose sur la loi de Faraday.



à $t=0$, on retire la bobine de la zone où se trouve \vec{B} .

N spires de surface S

$$\text{AO linéaire : } V_+ = V_- = 0$$

$$\text{Chm de Föllmann : } V_+ = \frac{V_F jCw + \frac{q}{R}}{jCw + \frac{1}{R}} \quad \left\{ \Rightarrow V_F = -\frac{1}{RjCw} q \right. \quad \left. \infty \right.$$

$$\text{Loi de Faraday : } \mathcal{E} = -\frac{d\Phi}{dt} \quad \Rightarrow \quad V_F = \frac{1}{RC} \Delta \Phi$$

$$V_F = \frac{NS}{RC} \cdot B$$

Rq : l'effet de l'AO fait dévier V_F peu à peu : il faut que le temps de manipulation de la sonde T soit inférieur à $\ll RC$ et que l'effet soit bien compensé. Pour cela, on utilise des intégrateurs tout montés de la collection (①) $I_{\text{entrée}} < 160 \text{ mA}$: fusibles).

$$C = 1 \mu F \quad N_S = 4000 \text{ cm}^2 \quad \left. \begin{array}{l} I = 6,00 \text{ A} \\ U_H = 6,00 \text{ V} \end{array} \right\} \rightarrow \text{effet bien compensé}$$

Dans l'electrostatique, pour $\left\{ \epsilon = 6, d = 0,3 \text{ cm}, \right. \quad \left. I = 6,00 \pm 0,02 \text{ A} \right.$

Mesure: $V_F = \pm$

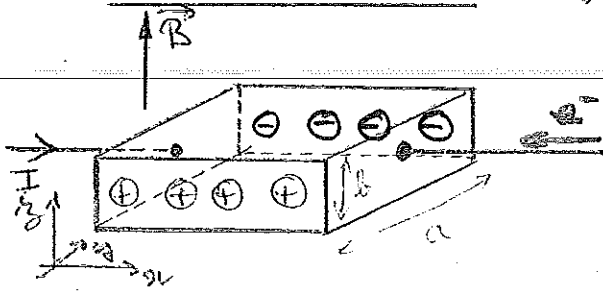
$$\text{d'où: } B = \pm$$

$$\frac{\Delta B}{B} \approx \frac{\Delta V_F}{V_F}$$

Le fluxmètre permet de faire des mesures dans la matière (cf. I-3.) mais :

- l'effet doit être bien compensé.
- on ne va pas dans une région à champ nul à la fin.
- on moyenne le champ sur toute la surface de la plaque.

2. Calorimétrie [Grégois] n : densité de porteurs.



Les porteurs de charge (des e- de notre cas: flaque de Ge déposée N) subissent une force mag.

$$\vec{f}_L = q \vec{N} \times \vec{B}$$

Il y a des déviations et des charges de surface apparaissent, créant un champ \vec{E}_H et une tension U_H transverses.

$$\text{à l'éq., } \vec{f}_H + \vec{f}_m = \vec{0} = q(\vec{E}_H + \vec{N} \times \vec{B})$$

$$\text{Or, } \vec{N} = \frac{\vec{j}}{q_n} = \frac{\vec{j}_{\text{ext}}}{q_m} \text{ de } \vec{E}_H = -\vec{N} \times \vec{B} = \frac{\vec{j} B}{mq} \vec{e}_y$$

$$\text{alors, } U_H = \int_{-a/2}^{a/2} \vec{E}_H \cdot d\vec{y} = \frac{\vec{j} Ba}{mq} \quad \boxed{U_H = \frac{IB}{mq}}$$

D.b.: Les soudures de part et d'autre de la plaque n'étant pas parfaites, une partie de $U_{\text{mesuré}}$ est due à la chute chimique "naturelle" \rightarrow On retourne la plaque et on moyenne!

Mesure: $V_+ = \pm$
 $V_- = \pm$

$$\left. \begin{array}{l} U_H = \frac{V_+ - V_-}{2} \\ U_H = \pm \end{array} \right\}$$

avec $I_{\text{send}} = 20 \text{ mA}$.

Induction : $B_A \approx$

Excitation coercitive : $H_c \approx$

Pr le fer doux B_A est assez faible et on a du mal à atteindre la saturation \Rightarrow bien fewer aimants.

Pr les matériaux dur, B_A est fort \Rightarrow aimants.

La matière peut donc créer un champ B .

II - Production de champs magnétiques

1. Champs faibles : aimants et bobines

Aimants :

- On montre les lignes de un champ de boussole : sa boucle.

- Au testimètre, B_A \rightarrow chp créé par la matière, dans l'extériorité.

Bobines :

$$\begin{cases} I = 0 \Rightarrow B = 0 \\ I \neq 0 \Rightarrow B_A \end{cases}$$



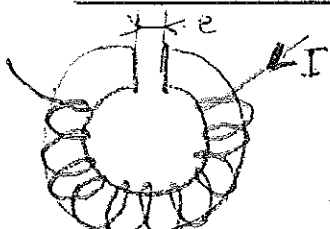
\rightarrow On crée B de un courant.

On ajoute un noyau de fer doux : B_A

\hookrightarrow c'est le pôle de l'aimant ! Le noyau canalise et guide les lignes de champ.

On crée ainsi des chps assez peu intenses mais de géométrie assez modulable.

2. Champs forts : électroaimants



Hopkinson : $H_{air} L + H_{air} e \approx NI$

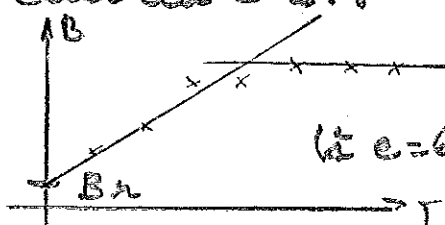
Hyp.: Entrefer = tube de champ

\hookrightarrow si modif. de sect°, B est le m de l'aimant et l'entrefer.

$$\text{alors, } \frac{B_e}{\mu_0} + \frac{B_L}{\mu_0 M_r} = NI$$

donc $B = \frac{\mu_0 NI}{e + \frac{L}{M_r}} \approx \frac{\mu_0 NI}{e} \quad \mu_0 \gg \frac{L}{M_r}$

On utilise la mesure de B au testimètre commercial du I-d..

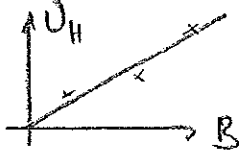


On a $B_A \approx$

\hookrightarrow intérêt d'un matériau donc : avoir un grand domaine de linéarité.

Courbe $U_H = f(B)$:

On fait varier I de l'électroaimant, on mesure B au fluxmètre et U_H est constante, et on trace $U_H = f(B)$



$$\text{Ainsi: } \text{dt } U_H = \alpha B$$

$$\alpha = \pm$$

$$\text{On en déduit } n = \frac{I}{4\pi R^2 B} \approx$$

$(10^{20} - 10^{21} \text{ attende})$

avec un teslamètre commercial:

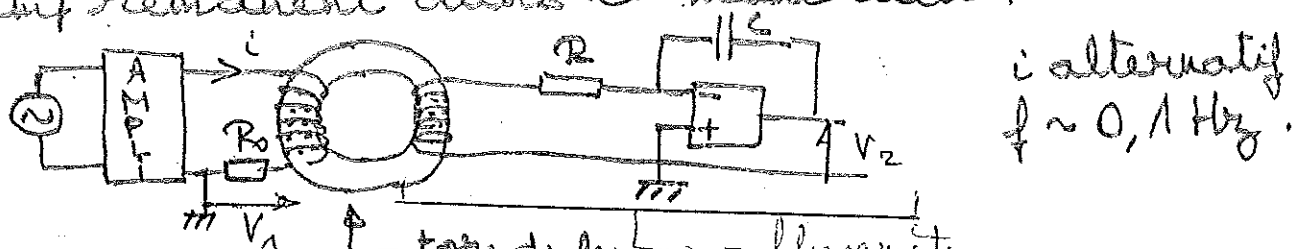
$$\begin{aligned} B_+ &= \\ B_- &= \end{aligned}$$

$$\Rightarrow B = \pm \quad (5\%)$$

Le type de sonde est plus maniable q le fluxmètre et peut être miniaturisé (ne accès à un champ local) mais ne permet pas de mesurer de la matière sous nos trempeaux à charge pour la manipulation efficace du fluxmètre et son guidage de la sonde entre ces Charybde et Scylla que sont les deux pôles de l'éaimant!

3. Mesure d'un champ dans la matière (Gating)

On va utiliser le type de fluxmètre pour tracer le cycle d'hystéresis du fer doux et en déduire le champ rémanent dans ce matériau.



Tore de fer = fluxmètre

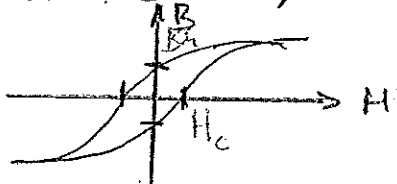
R_0 : rhéostat $\approx 33\Omega$ doux (à longueur moyenne)

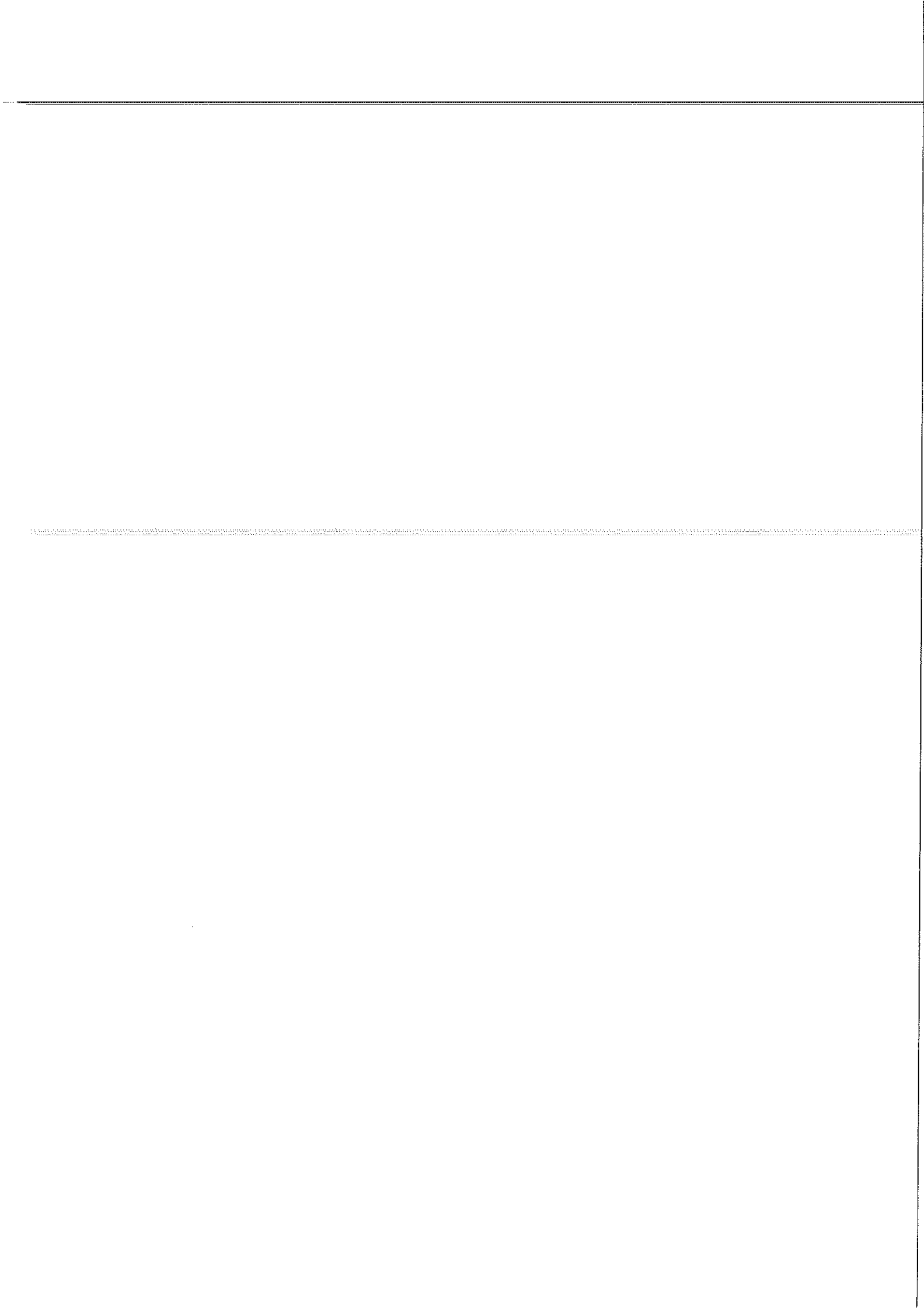
$R = 1k\Omega$ \rightarrow à nouveau, on utilise la flaglette f_R
 $C = 1\mu F$ limiter la dérive de V_2 ac l'offset.

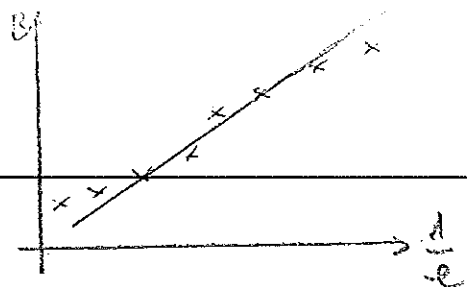
$$\text{On a: - Chm d'Amphère: } H = \frac{N_1 I}{l} = \frac{N_1 V_1}{R_0 l}$$

$$- Fluxmètre: \quad B = \frac{RC}{N_2 S} \cdot \frac{V_2}{f_R}$$

Sur l'oscillo en XY, on trace $V_2 = f(V_1) \equiv B = f(H)$:







- On a vu qq mesures de B mais : 5/5
- e fort : l'entrefer n'est plus un tube de champ.
 - e faible : $\frac{B}{B_0} \ll e$ faux.

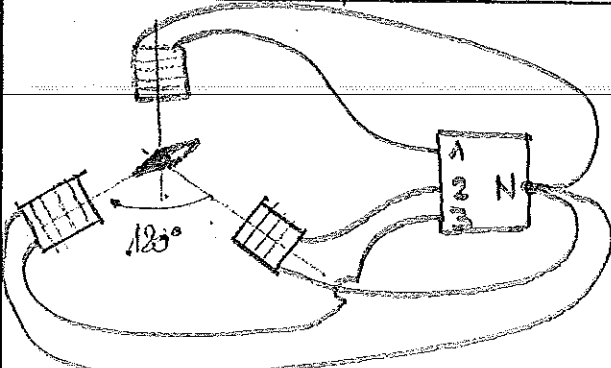
Sens de \vec{B}' :

(assez fort..)

On place un fil dans lequel circule un courant dans l'entrefer \rightarrow le sens de la force de Laplace donne le sens de \vec{B}' ($F_L = -e \vec{v} \times \vec{B}'$).

L'aimants permettent d'avoir \vec{B} intense modulable ou peut aussi jouer sur les pôles polaires pour concentrer le champ.

3. Champs tournants [Q IV] (si le temps...)



\rightarrow 3 bobines à 120° alimentées par des courants triphasés de fréq. f créant un champ tournant à cette fréq (thm de Ferraris).

Sur stroboscope : f_N

(on obtient 50 Hz ...)

Conclusion :

- On a vu qq mesures de B mais il y en a d'autres utilisant d'autres effets (effet Zeeman, couple de la force de Laplace, ...).

- Pour produire B plus fort, il faut des bobines supra mais le pôle reste le m. B pratiqu car intensité et géométrie assez modulables (fixage, ...).

④ produit * de B à gde échelle ac MHD.